

# 12.추가양자수

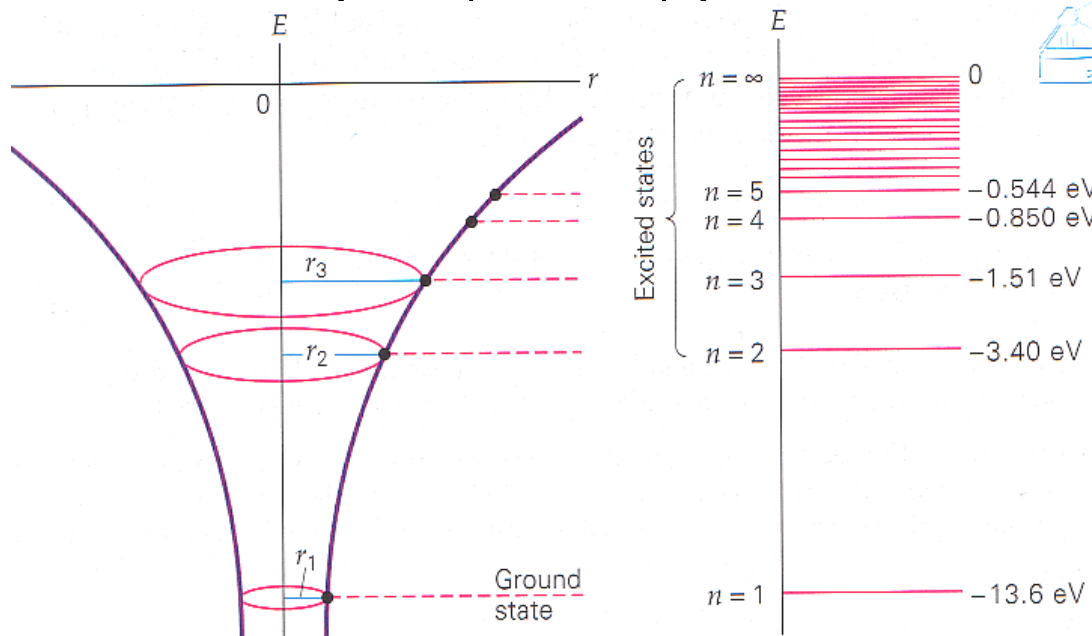
화공과 김영훈 교수

korea1@kw.ac.kr

# 궤도(orbital) 개념

2

- $r_n = 0.0529n^2$  (nm)
- $E_n = -13.6/n^2$  (eV)
- Energy difference between the levels  
 $\Delta E = 13.6(1/n_f^2 - 1/n_i^2)$



Initial State,  $n_i$

$\Delta E = 10.2$  eV

Final state,  $n_f$

# 타원방정식

3

## □ 타원(ellipse)

- 평면위 초점에 이르는 거리의 합이 일정한 점의 자취
- 장축길이  $2a$ , 단축길이  $2b$ , 초점  $c=(a^2-b^2)^{1/2}$

$$\overline{FP} + \overline{F'P} = 2a \text{ (단, } a > c > 0)$$

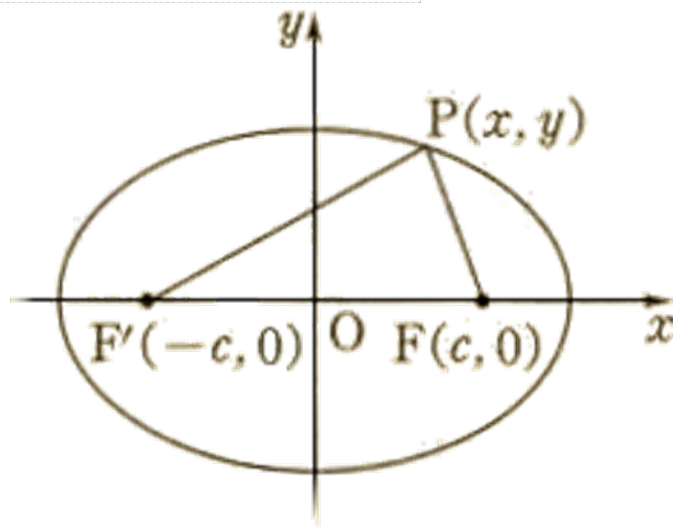
여기서,  $\overline{FP} = \sqrt{(x-c)^2 + y^2}$ ,  $\overline{F'P} = \sqrt{(x+c)^2 + y^2}$  이므로,

$$\sqrt{(x-c)^2 + y^2} + \sqrt{(x+c)^2 + y^2} = 2a$$

$$\sqrt{(x-c)^2 + y^2} = 2a - \sqrt{(x+c)^2 + y^2}$$

$$(a^2 - c^2)x^2 + a^2y^2 = a^2(a^2 - c^2)$$

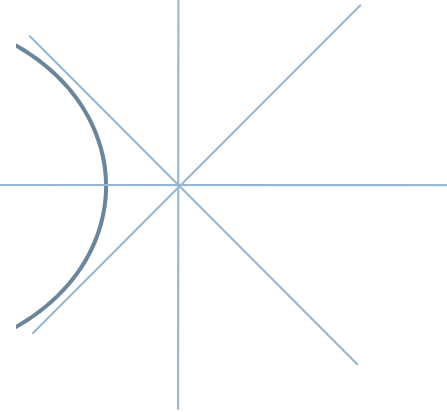
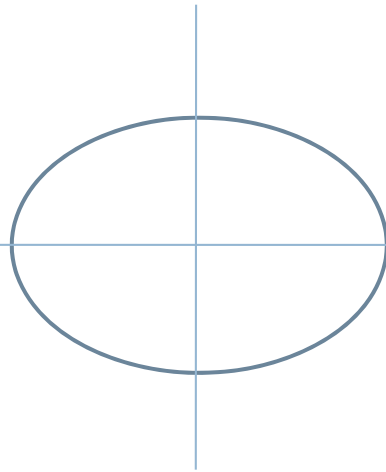
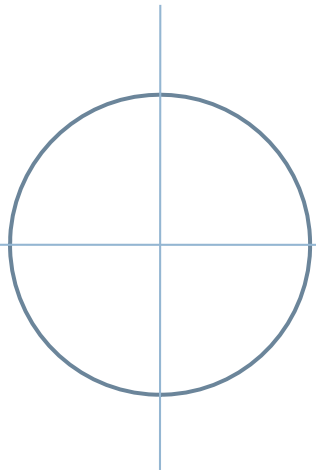
$$\frac{x^2}{a^2} + \frac{y^2}{b^2} = 1 \text{ (단, } b^2 = a^2 - c^2)$$



# 회전체의 운동에너지

4

- $E_k$  커질수록 궤도 변경됨
  - ▣ 원  $\rightarrow$  타원  $\rightarrow$  포물선  $\rightarrow$  쌍곡선



$$E = |E_k| = \frac{1}{2}|E_p|$$

$$\frac{1}{2}|E_p| < E < |E_p|$$

$$E = 0$$

$$E > |E_p|$$

# 수소 회선의 미세구조(fine structure)

5

- 보어모델: 수소의 미세구조 설명 불가
- Bohr-Sommerfeld model
  - ▣ Single energy state는 사실 매우 근접한 여러 개의 energy state의 합이다
  - ▣ 원궤도에서 타원궤도로 수정
- 극좌표계(polar coordination):  $(r, \theta)$ 에 적용
  - ▣  $\oint L d\theta = n_\theta h \quad \rightarrow \quad L = \frac{h}{2\pi} n = nh$
  - ▣  $\oint p_r dr = n_r h \quad \rightarrow \quad L(a/b - 1) = nh$

# Orbital quantum number, $l$

6

□ From  $\frac{mv^2}{r} = \frac{1}{4\pi\epsilon_0} \frac{Ze^2}{r^2}$

□ 타원의 장축, 단축 좌표와 에너지 값

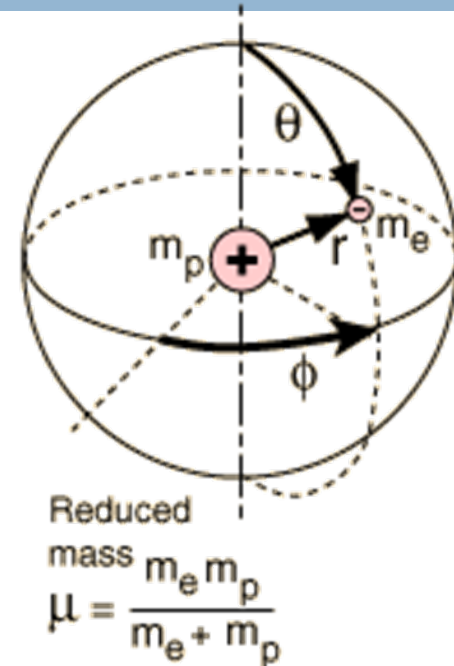
$$a = \frac{4\pi\epsilon_0 n^2 \hbar^2}{\mu Z e^2}, \quad b = a \frac{n_\theta}{n}, \quad E = -\left(\frac{1}{4\pi\epsilon_0}\right)^2 \frac{\mu Z^2 e^4}{2n^2 \hbar^2}$$

□ 오비탈의 모양은  $n_\theta/n$  비로 결정

□ 주양자수(principal quantum number) 성분

□  $n \equiv n_\theta + n_r$

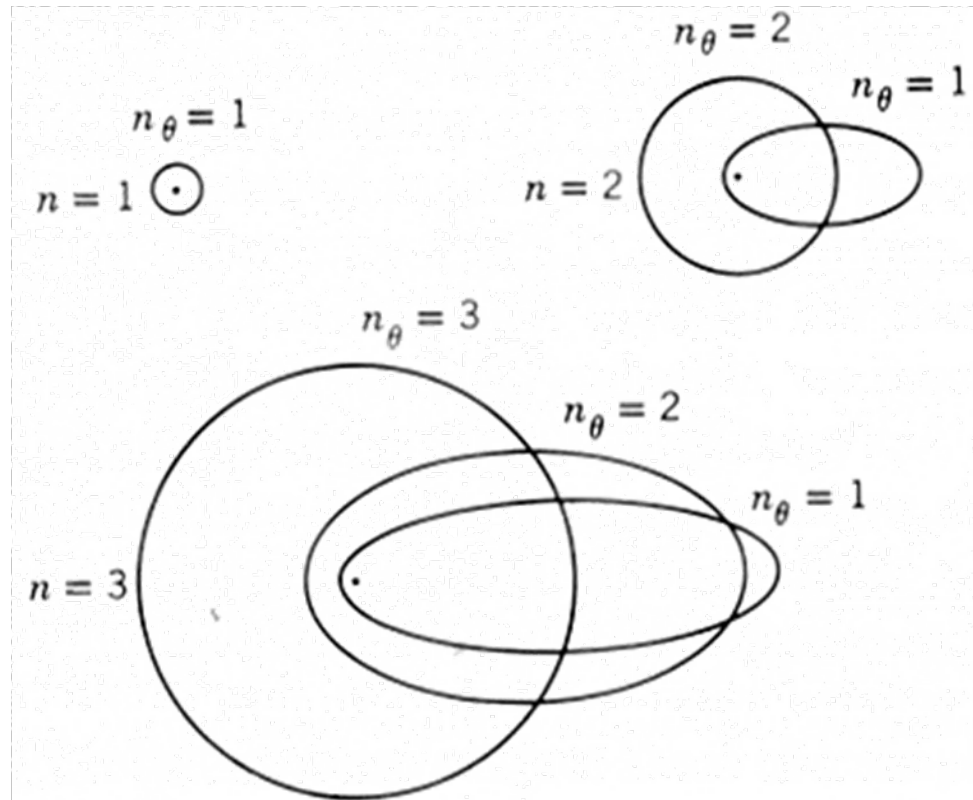
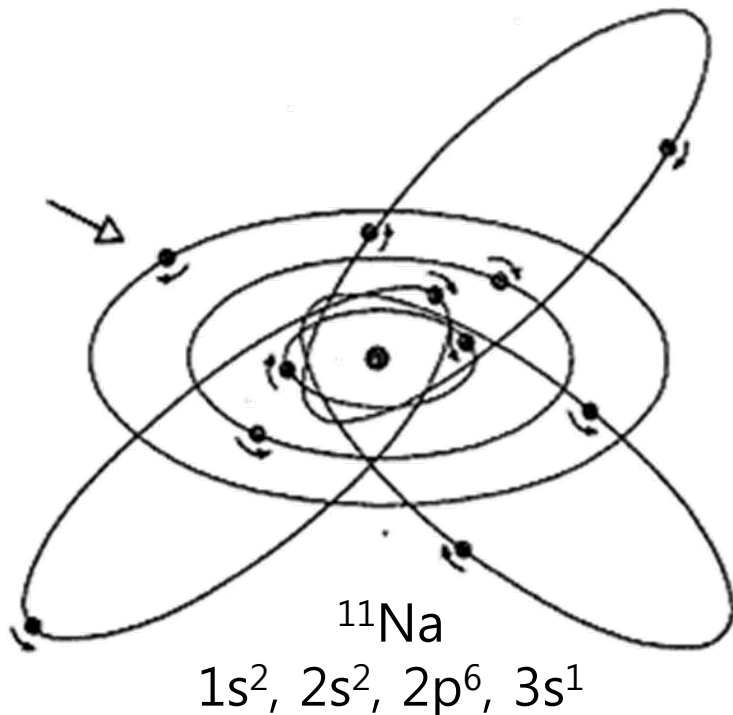
□  $l = n_\theta - 1$ : azimuthal quantum number (0,1,2,...,n-1)



# 양자수 고려한 원자궤도

7

- Shape of orbit:  $n_\theta/n$  ratio로 결정
  - ▣  $n_\theta=n$ 일때, 원형 궤도  $\rightarrow a=b$
- 그러나, 궤도 모양에 무관하게 동일 주양주수 내 에너지 동일?



# Degeneracy of orbit

8

## □ Way to removal of degeneracy

### ▣ Relativistic correction: $v/c \sim 10^{-2}$

$$E_n = -\frac{\mu Z^2 e^4}{2(4\pi\epsilon_0)^2 \hbar^2} \frac{1}{n^2} \left[ 1 + \frac{\alpha^2 Z^2}{n} \left( \frac{1}{n_\theta} - \frac{3}{4n} \right) \right]$$

### ▣ 식의 [ ] 부분이 궤도 모양 차이 보정항

### ▣ Fine structure constant

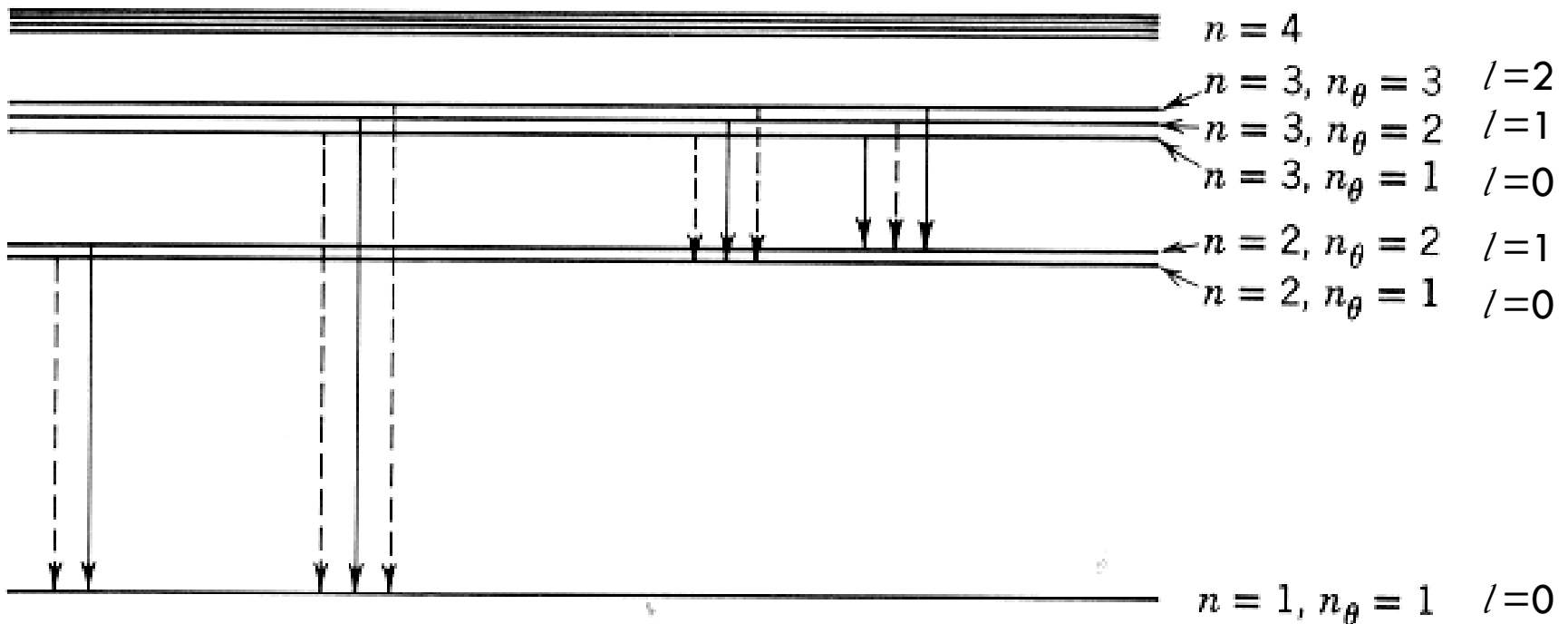
$$\alpha \equiv \frac{e^2}{4\pi\epsilon_0 \hbar c} = \frac{1}{137}$$



# Selection rule

9

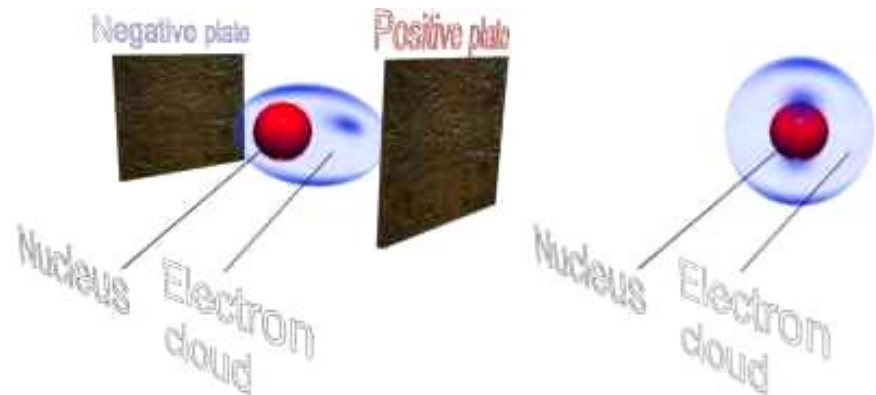
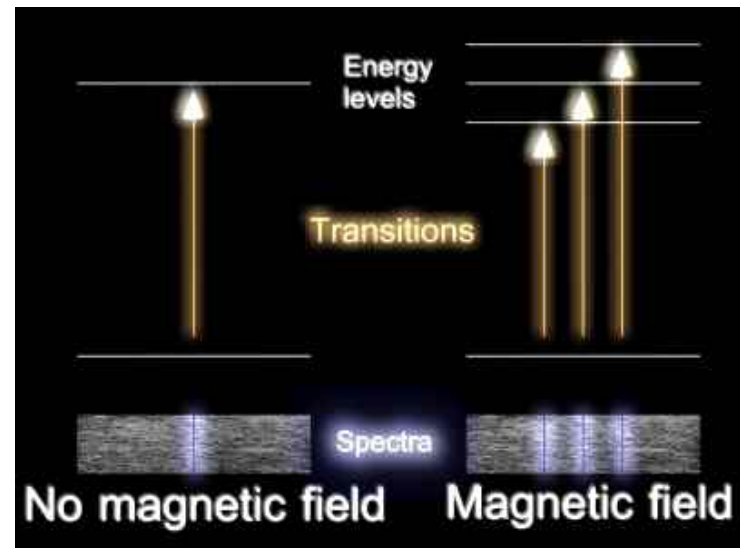
- 전자 전이: 전자기파 발생
  - 모든 전이를 관찰 가능한 것은 아니다
  - Selection rule이 지배,  $n_{\theta i} - n_{\theta f} = \pm 1$



# 자기장에서의 스펙트럼 분리

10

- 자기장 하에서 더 많은 스펙트럼 선 관찰



# Magnetic potential energy

11

- Orbiting electron은 current loop 처럼 행동
  - ▣ Magnetic moment interaction energy 발생

$$I = \frac{qv}{2\pi r} = -\frac{ev}{2\pi r}$$

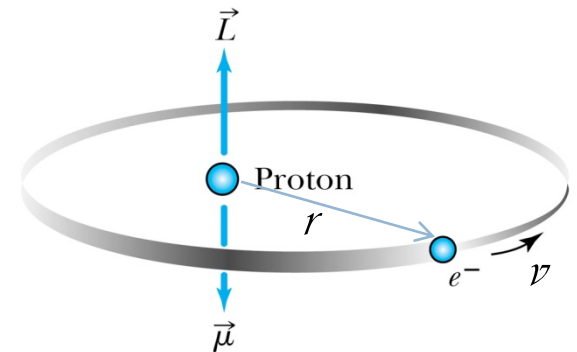
$$\mu = IA = -\frac{ev}{2\pi r} \pi r^2 = -\frac{e}{2m_e} m_e v r = -\frac{e}{2m_e} L$$

- ▣ z 방향만 고려시

$$U(\theta) = -\mu \cdot B \quad U = \frac{e}{2m} L_z B = m_\ell \frac{e\hbar}{2m} B$$

$$\Delta E = m_\ell \frac{e\hbar}{2m} B = m_\ell \mu_B B \quad \mu_B = \text{Bohr magneton}$$

$$\mu_B = \frac{e\hbar}{2m_e} = 9.2740154 \times 10^{-24} \text{ J/T} = 5.788382 \times 10^{-5} \text{ eV/T}$$



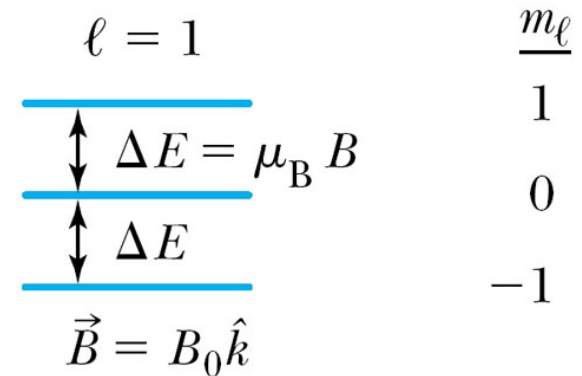
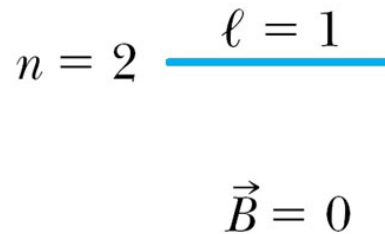
# Zeeman effect

- Normal Zeeman effect
  - ▣ Magnetic field splits  $m_l$  levels
  - ▣ Equally spaced energy level ( $\Delta E = \mu_B B \Delta m_l$ )
- Anomalous Zeeman effect
  - ▣ Electron spin magnetic moment 고려시 발생
  - ▣ Normal Zeeman + spin

$$\Delta E = \frac{e}{2m} (\vec{L} + 2\vec{S}) \cdot \vec{B} = g_L \mu_B m_l B$$

Magnetic interaction energy

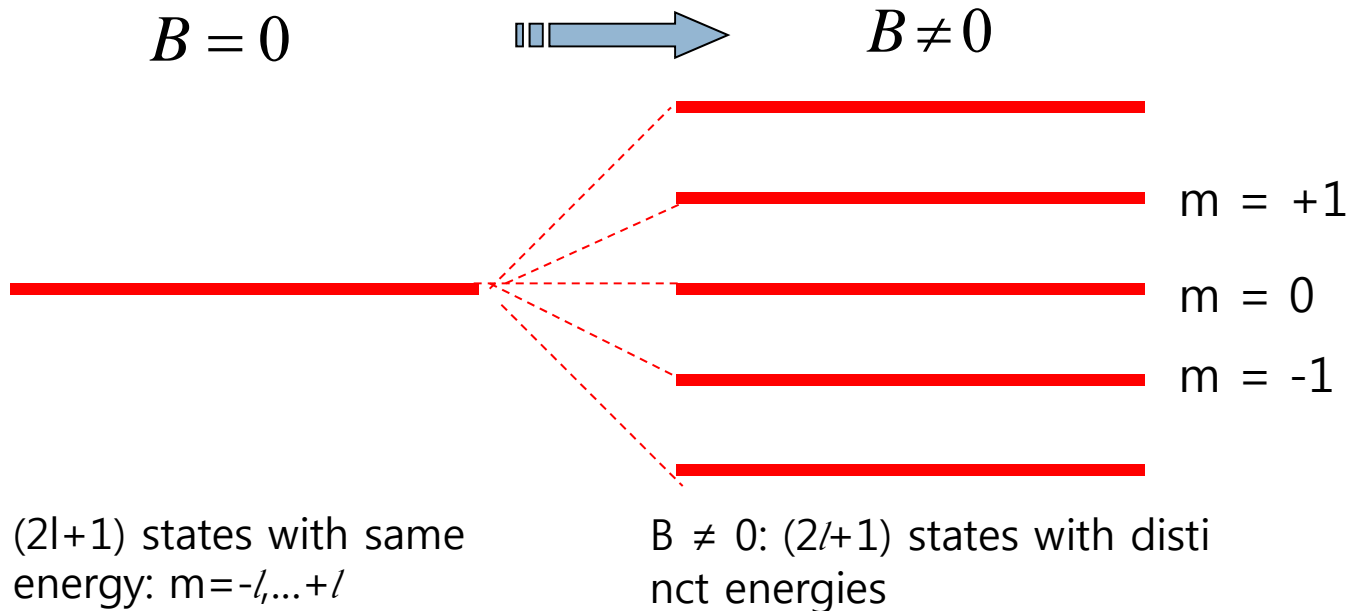
$m_l$	Energy
1	$E_0 + \mu_B B$
0	$E_0$
-1	$E_0 - \mu_B B$



# Magnetic quantum number, m

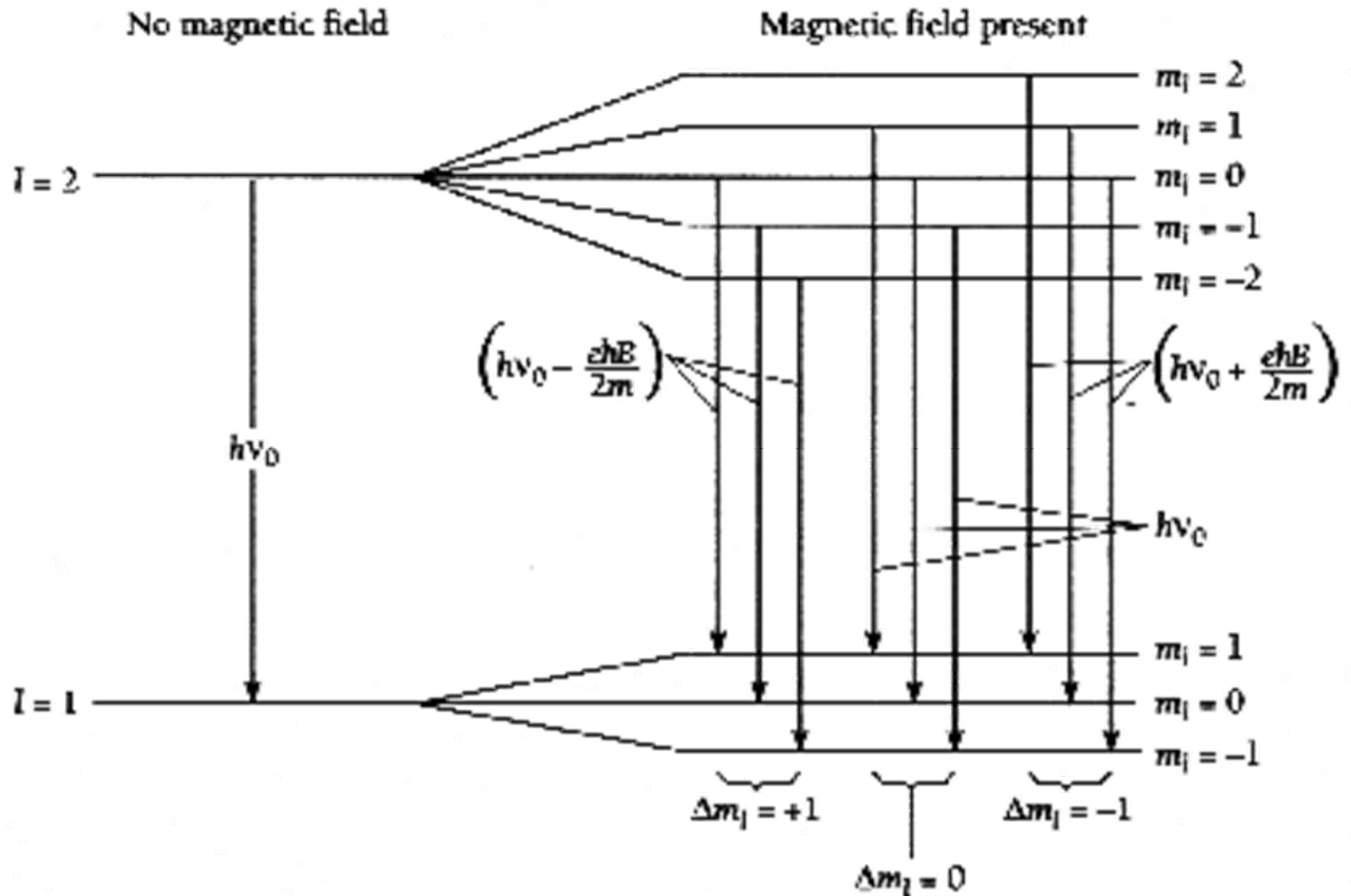
13

- 자기장에 의한 스펙트럼 추가 분리
  - Orbital orientation을 반영
  - Ground state는  $n=1, l=0$ 이므로  $m=0$ 으로 분리 안됨



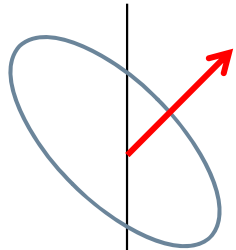
# 전이시 에너지 변화

14

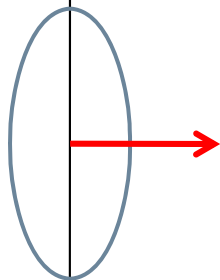


# 각운동량 벡터 방향과 자기양자수

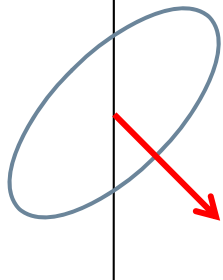
$m=1$



$m=0$



$m=-1$

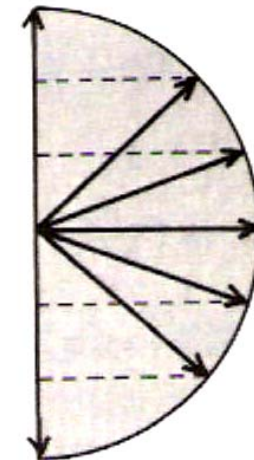
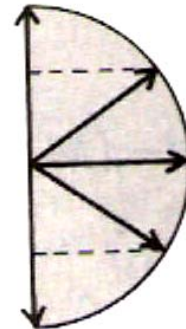


$l=0, m=0$

$l=1$   $m=1$   
 $m=0$   
 $m=-1$

$l=2$   $m=2$   
 $m=1$   
 $m=0$   
 $m=-1$   
 $m=-2$

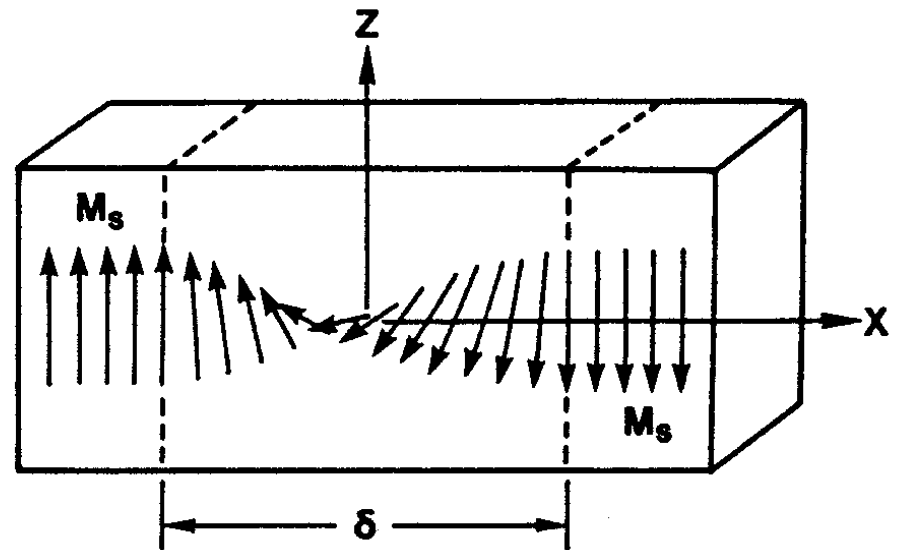
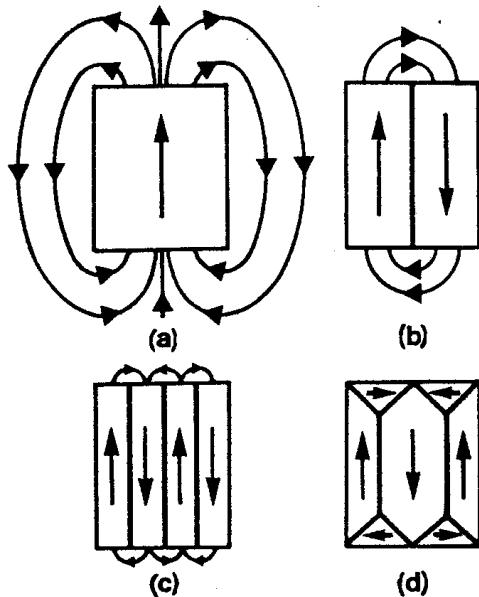
$l=3$   $m=3$   
 $m=2$   
 $m=1$   
 $m=0$   
 $m=-1$   
 $m=-2$   
 $m=-3$



# Magnetic domain

16

- 자기양자수 발견이 늦은 이유
  - ▣ Natural magnetic materials 풍부
  - ▣ Magnetic domain의 무작위 배열로 net magnetization 파악 어려움
  - ▣ 외부 자기장하에서 분리 가능

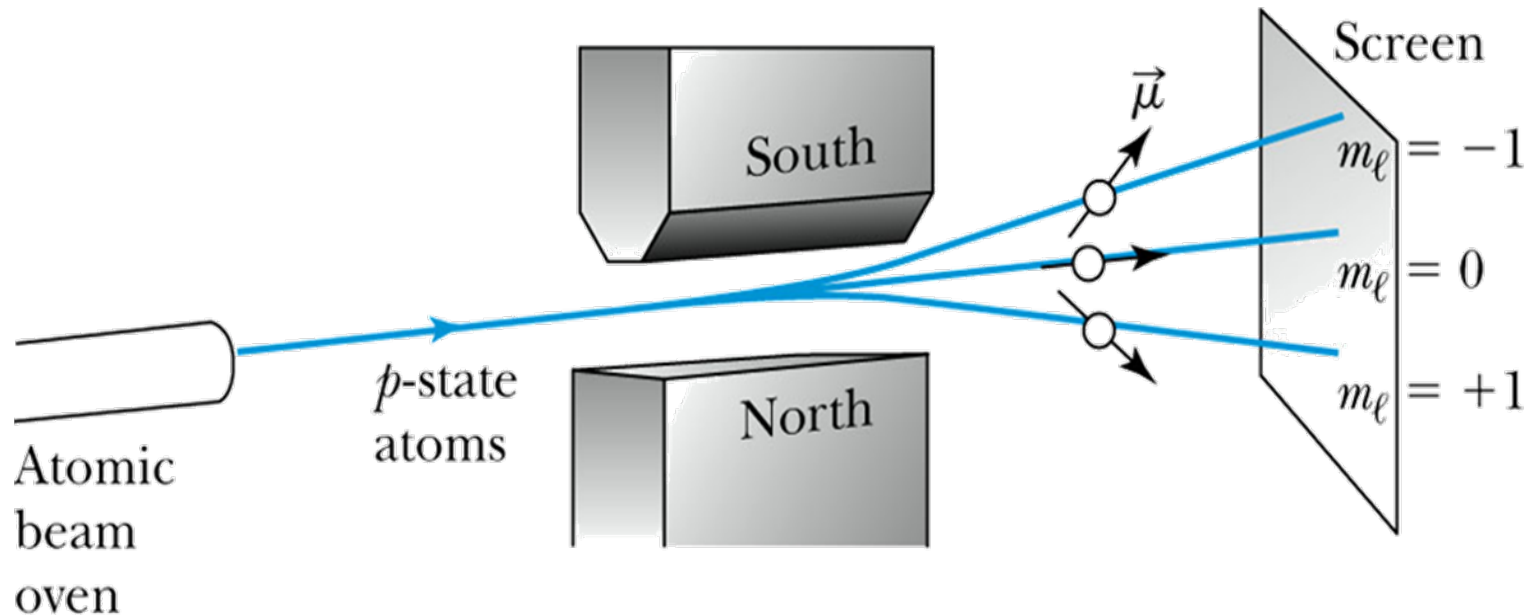




# Zeeman effect 실험적 예측

17

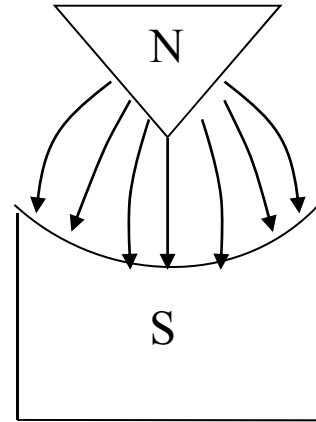
- Stern-Gerlach 실험으로 지만 효과 증명
  - $m_\ell = +1$  state: deflected down
  - $m_\ell = -1$  state: deflected up
  - $m_\ell = 0$  state: undeflected



# Stern-Gerlach 실험의 의미

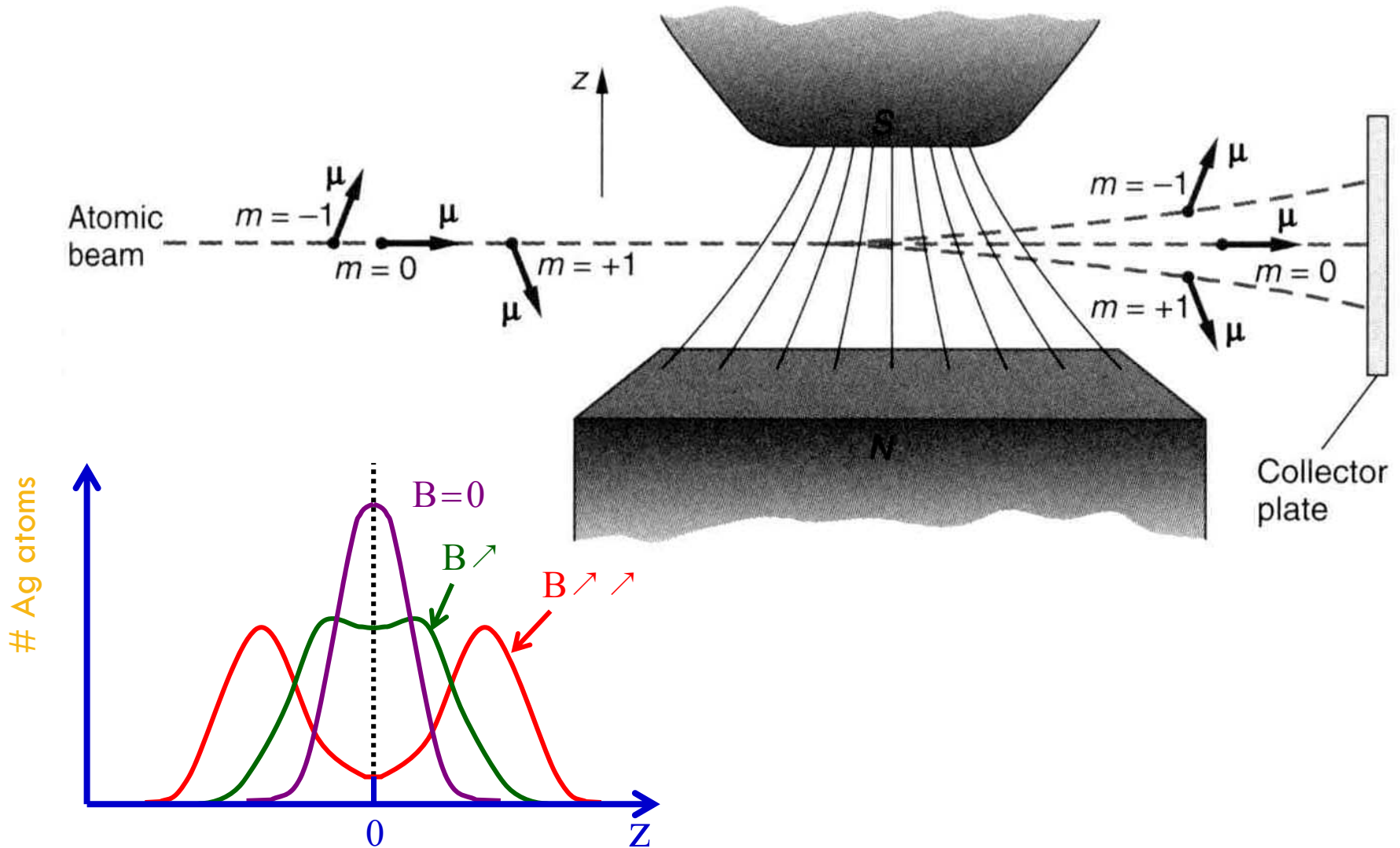
18

- Magnetic force  $\left( F_z = \mu_z \frac{dB}{dz} \right)$ 
  - ▣ Magnetic moment와 B field gradient에 의존
- 실험 세팅
  - ▣ Non-uniform magnetic field 형성
  - ▣ Magnetic dipole moment 형성
- Spin의 개념 도출
  - ▣ Bohr-Sommerfeld 모델에 의한  $2l+1$  예측
  - ▣ Magnetic moment와 orbital angular momentum과의 상관성 설명



# 비대칭 자기장 실험 결과

19



# CM 해석과 비교

20

